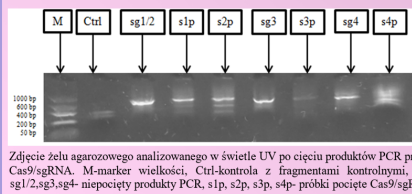


Komórki nieswoistej odpowiedzi immunologicznej, neutrofile, posiadają niezbędne funkcje do obrony organizmu przed drobnoustrojami. Oprócz zdolności do szybkiej transmigracji do miejsca stanu zapalnego, fagocytozy, degranulacji i produkcji reaktywnych form tlenu (RFT), potrafią również uwalniać zewnętrzkomórkowe sieci neutrofilowe (NETs). Formowanie NETs, których struktura składa się z DNA i przeciwdrobnoustrojowych białek, zależne jest od różnych mechanizmów wewnątrzkomórkowych, takich jak cytrulinacja histonów i produkcja RFT. Do niedawna uważano, że autofagia również jest niezbędna w powstawaniu NETs, jednak badania naszego zespołu oraz doniesienia Simona i wsp. zaprzeczają tej teorii. Zastosowanie w tych badaniach niespecyficznych inhibitorów autofagii, hamujących kinazy PI3K, spowodowało wzrost zainteresowania wśród naukowców szlakami związanymi z PI3K.

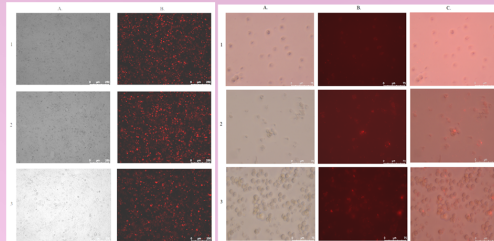
Celem tej pracy było zbadanie wpływu inhibitorów klasy I PI3K na uwalnianie NETs i wypracowanie stabilnej linii komórkowej białaczki promielocytowej HL-60 z wyciszonym genem kodującym białko p110δ.

Badania inhibitorów klasy I PI3K prowadzono na neutrofilach wyizolowanych z krwi pełnej zdrowych dawców. Komórki inkubowano 30 minut z inhibitorami Alpelisibem, TGX-221, AS-605240, Idelalisibem, które odpowiednio hamują podjednostki p110α, β, γ, δ PI3K. Potem stymulowano je przez 3 godziny z octanem mirystynianu forbolu (PMA), jonoforem wapnia (CI), lipopolisacharydem *Pseudomonas aeruginosa* (LPS P.a), lipopolisacharydem *Escherichia coli* (LPS E.c) lub czynnikiem aktywującym płytki (PAF). Analizę prowadzono pomiarem fluorymetrycznym i obserwacją preparatów pod mikroskopem fluorescencyjnym. Potem przeprowadzono wyciszanie genu dla białka p110δ metodą CRISPR/Cas9, a wyniki analizowano metodą Western-blot.

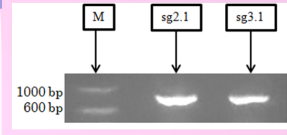
Uzyskane wyniki wskazują, że zastosowanie inhibitorów klasy I PI3K w określonych stężeniach wpływa na zdolność neutrofilów do uwalniania NETs, hamując ten proces. AS605240 hamował powstawanie NETs w najwyższym badanym stężeniu w każdym stymulatorze, a Idelalisib w kilku, ale w najniższym stężeniu. Dlatego też w celu realizacji dalszych badań zdecydowano się na opracowanie genetycznie modyfikowanego modelu komórkowego linii HL-60 z wyciszonym genem kodującym p110δ PI3K. Zmniejszoną ekspresję białka p110δ uzyskano w trzech klonach komórek linii HL-60, jednak nie udało się uzyskać komórek z całkowitym brakiem tego białka.



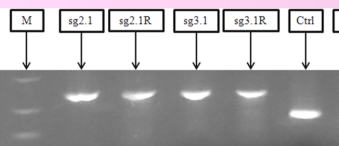
Zdjęcie żelu agarozowego analizowanego w świetle UV po cięciu produktów PCR przez Cas9/sgRNA. M-marker wielkości, Ctrl-kontrola z fragmentami kontrolnymi, sg1/2,sg3,sg4- niepecyoty produkty PCR, s1p, s2p, s3p, s4p- próbki cięciwa Cas9/sgRNA



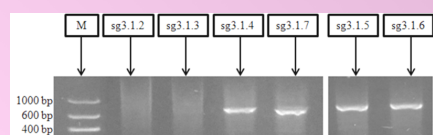
Zdjęcia komórek HEK 273T z pęcherzykami po transfekcji wykonane mikroskopem fluorescencyjnym pod powiększeniem 20x. A- zdjęcia w świetle widzialnym, B- zdjęcia w świetle fluorescencyjnym. Zdjęcia numer 1 przedstawiają komórki po transfekcji plazmidem Plvx-IRES-Puro (kontrola), 2- komórki po transfekcji plazmidem pGuide-it-sgRNA1 zawierającym sekwencję sg2.1, 3- komórki po transfekcji plazmidem pGuide-it-sgRNA1 zawierającym sekwencję sg3.1. Czerwona fluorescencja potwierdza wyprodukowanie pęcherzyków w HEK 273T.



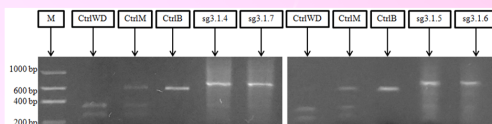
Produkt PCR poddany rozdzielni elektroforetycznej w 2% żelu agarozowym. M-marker, sg2.1- produkt PCR z wykorzystaniem starterów dla sg2.1, sg3.1- produkt PCR z wykorzystaniem starterów dla sg3.1. Analiza potwierdziła prawidłową amplifikację DNA.



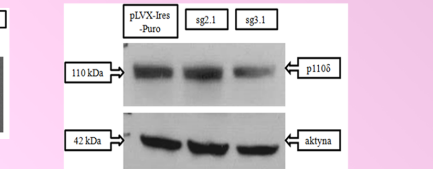
Analiza hybridyzacji i trawienia produktów PCR Rezolwąją poprzez rozdziel elektroforetyczny w 2% żelu agarozowym. M-marker, sg2.1- produkt PCR niepotrawiony, sg2.1R- produkt PCR trawiony Rezolwąją, sg3.1- produkt PCR niepotrawiony, sg3.1R- produkt PCR trawiony Rezolwąją. Ctrl- kontrola pozytywna niepotrawiona, CtrlR- kontrola pozytywna potrawiona Rezolwąją.



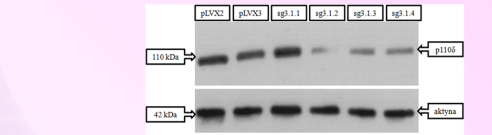
Produkt PCR poddany rozdzielni elektroforetycznej w 2% żelu agarozowym. M-marker, sg3.1.2-7- produkt PCR z wykorzystaniem starterów dla sg3.1. Potwierdzenie amplifikacji miejsca docelowego dla CRISPR/Cas9 dla klonów 3.1.4-7.



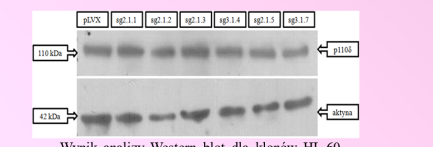
Analiza trawienia produktów PCR klonów przez nukleazę (CRISPR/Cas9) poprzez rozdziel elektroforetyczny w 2% żelu agarozowym. M-marker, CtrlWD - kontrola typu dzikiego allelu, CtrlM - kontrola dla mutacji monoallelicznej, CtrlB- kontrola dla mutacji biallelicznej.



Wynik analizy Western blot dla mieszaniny komórek linii HL-60, które pobraly pęcherzyki z sg2.1 i sg3.1 oraz kontroli z Plvx-IRES-Puro, która przedstawia prawidłową ekspresję białka PI3K p110δ. Kontrolę naładowania białka stanowiła aktyna.

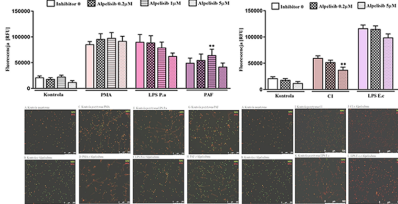


Wynik analizy Western blot dla klonów sg3.1 HL-60 (sg3.1.1-4) oraz klonów kontrolnych z Plvx-IRES-Puro (pLVX2, pLVX3), które przedstawia prawidłową ekspresję białka PI3K p110δ. Kontrolę naładowania białka stanowiła aktyna.



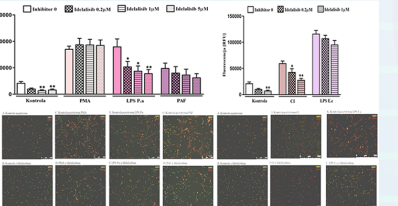
Wynik analizy Western blot dla klonów HL-60 sg2.1 oraz kontroli z Plvx-IRES-Puro (plvx), która przedstawia prawidłową ekspresję białka PI3K p110δ. Kontrolę naładowania białka stanowiła aktyna.

### Wpływ inhibitora podjednostki p110α PI3K - Alpelisibu (BYL719)



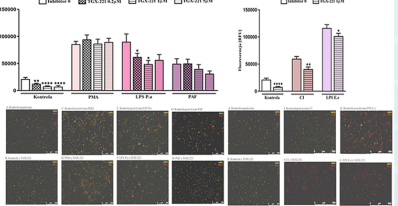
Ryc. A przedstawia kontrolę negatywną - neutrofile zawieszane w RPMI, a ryc. B kontrolę z inhibitorem - komórki zawieszane w RPMI z Alpelisibem (5µM). Ryc. C przedstawia kontrolę pozytywną ze stymulatorem - neutrofile zawieszane w RPMI z PMA (100nM), a ryc. D komórki z PMA (100nM) i Alpelisibem (5µM). Rycina E przedstawia kontrolę pozytywną ze stymulatorem - neutrofile zawieszane w RPMI z LPS P.a (10µg/ml), a ryc. F komórki z LPS P.a (10µg/ml) i Alpelisibem (5µM). Ryc. G przedstawia kontrolę pozytywną ze stymulatorem - neutrofile zawieszane w RPMI z PAF (2,5µM), a ryc. H komórki z PAF (2,5µM) i Alpelisibem (5µM). Ryc. I przedstawia kontrolę pozytywną ze stymulatorem - neutrofile zawieszane w RPMI z CI (4µM), a ryc. J komórki z CI (4µM) i Alpelisibem (5µM). Ryc. K przedstawia kontrolę pozytywną ze stymulatorem - neutrofile zawieszane w RPMI z LPS E.c (5µg/ml), a rycina L komórki z LPS E.c (5µg/ml) i Alpelisibem (5µM).

### Wpływ inhibitora podjednostki p110δ PI3K - Idelalisibu



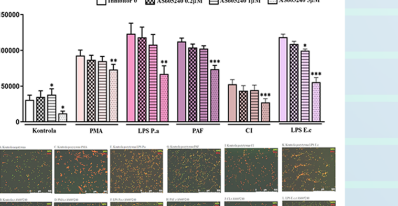
Ryc. A przedstawia kontrolę negatywną - neutrofile zawieszane w RPMI, a ryc. B kontrolę z inhibitorem - komórki zawieszane w RPMI z TGX-221 (1µM). Ryc. C przedstawia kontrolę pozytywną ze stymulatorem - neutrofile zawieszane w RPMI z PMA (100nM), a ryc. D komórki z PMA (100nM) i TGX-221 (1µM). Ryc. E przedstawia kontrolę pozytywną ze stymulatorem - neutrofile zawieszane w RPMI z LPS P.a (10µg/ml), a ryc. F komórki z LPS P.a (10µg/ml) i TGX-221 (1µM). Ryc. G przedstawia kontrolę pozytywną ze stymulatorem - neutrofile zawieszane w RPMI z PAF (2,5µM), a ryc. H komórki z PAF (2,5µM) i TGX-221 (1µM). Ryc. I przedstawia kontrolę pozytywną ze stymulatorem - neutrofile zawieszane w RPMI z CI (4µM), a ryc. J komórki z CI (4µM) i TGX-221 (1µM). Ryc. K przedstawia kontrolę pozytywną ze stymulatorem - neutrofile zawieszane w RPMI z LPS E.c (5µg/ml), a ryc. L komórki z LPS E.c (5µg/ml) i TGX-221 (1µM).

### Wpływ inhibitora podjednostki p110β PI3K - TGX-221



Ryc. A przedstawia kontrolę negatywną - neutrofile zawieszane w RPMI, a ryc. B kontrolę z inhibitorem - komórki zawieszane w RPMI z Idelalisibem (0,2µM). Ryc. C przedstawia kontrolę pozytywną ze stymulatorem - neutrofile zawieszane w RPMI z PMA (100nM), a ryc. D komórki z PMA (100nM) i Idelalisibem (0,2µM). Ryc. E przedstawia kontrolę pozytywną ze stymulatorem - neutrofile zawieszane w RPMI z LPS P.a (10µg/ml), a ryc. F komórki z LPS P.a (10µg/ml) i Idelalisibem (0,2µM). Ryc. G przedstawia kontrolę pozytywną ze stymulatorem - neutrofile zawieszane w RPMI z PAF (2,5µM), a ryc. H komórki z PAF (2,5µM) i Idelalisibem (0,2µM). Ryc. I przedstawia kontrolę pozytywną ze stymulatorem - neutrofile zawieszane w RPMI z CI (4µM), a ryc. J komórki z CI (4µM) i Idelalisibem (0,2µM). Ryc. K przedstawia kontrolę pozytywną ze stymulatorem - neutrofile zawieszane w RPMI z LPS E.c (5µg/ml), a ryc. L komórki z LPS E.c (5µg/ml) i Idelalisibem (0,2µM).

### Wpływ inhibitora podjednostki p110γ PI3K - AS605240



Ryc. A przedstawia kontrolę negatywną - neutrofile zawieszane w RPMI, a ryc. B kontrolę z inhibitorem - komórki zawieszane w RPMI z AS605240 (5µM). Ryc. C przedstawia kontrolę pozytywną ze stymulatorem - neutrofile zawieszane w RPMI z PMA (100nM), a ryc. D komórki z PMA (100nM) i AS605240 (5µM). Ryc. E przedstawia kontrolę pozytywną ze stymulatorem - neutrofile zawieszane w RPMI z LPS P.a (10µg/ml), a ryc. F komórki z LPS P.a (10µg/ml) i AS605240 (5µM). Ryc. G przedstawia kontrolę pozytywną ze stymulatorem - neutrofile zawieszane w RPMI z PAF (2,5µM), a ryc. H komórki z PAF (2,5µM) i AS605240 (5µM). Ryc. I przedstawia kontrolę pozytywną ze stymulatorem - neutrofile zawieszane w RPMI z CI (4µM), a ryc. J komórki z CI (4µM) i AS605240 (5µM). Ryc. K przedstawia kontrolę pozytywną ze stymulatorem - neutrofile zawieszane w RPMI z LPS E.c (5µg/ml), a ryc. L komórki z LPS E.c (5µg/ml) i AS605240 (5µM).

Wykresy prezentują wyniki analizy ilościowej uwalniania NETs dla różnych stężeń inhibitora: Alpelisibu, TGX-221, Idelalisibu i AS605240. Kontrola- komórki niestymulowane, inhibitor 0- komórki stymulowane bez dodatku inhibitora, stymulatory: PMA- octan mirystynianu forbolu, CI- jonofor wapnia, LPS E.c - lipopolisacharyd bakteryjny *Escherichia coli*, LPS P.a- lipopolisacharyd bakteryjny *Pseudomonas aeruginosa*, PAF- czynnik aktywujący płytki.

Wizualizacja uwalniania NETs uzyskane za pomocą mikroskopii fluorescencyjnej. Preparaty wybarwiono za pomocą przeciwciał skierowanych przeciwko mieloperoksydazie (kolor zielony) oraz barwnika Sytox Orange wiążącego DNA (kolor czerwony).

Wyniki przeprowadzonych badań wskazują na udział szlaku klasy I PI3K w powstawaniu NETs ze szczególnym udziałem podjednostki p110δ PI3K.